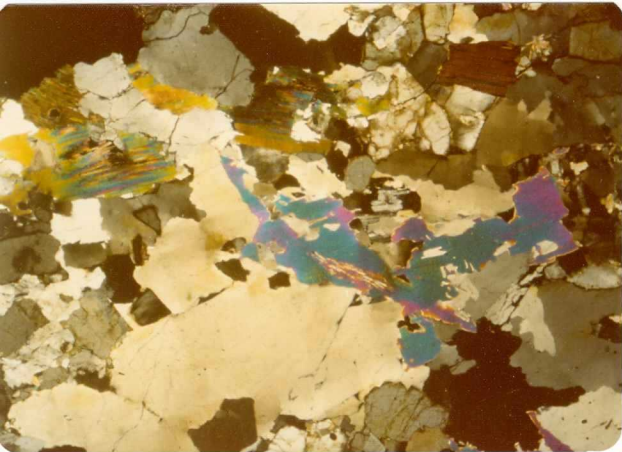


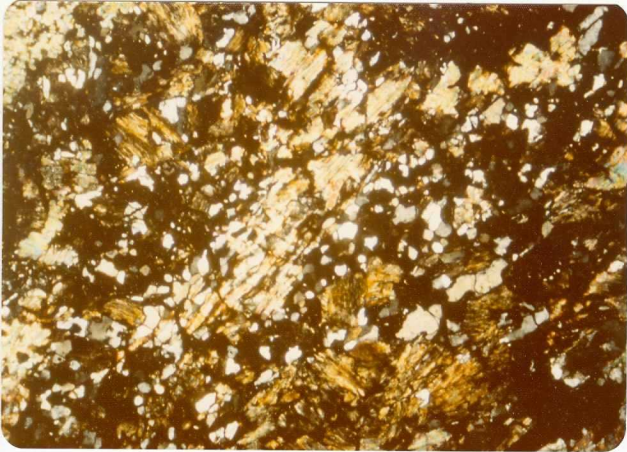
12-16-EP-LA-101 NC x 16

Granodiorita leucocrática



12-16-EP-LA-102 , NC x 16

Granodiorita.



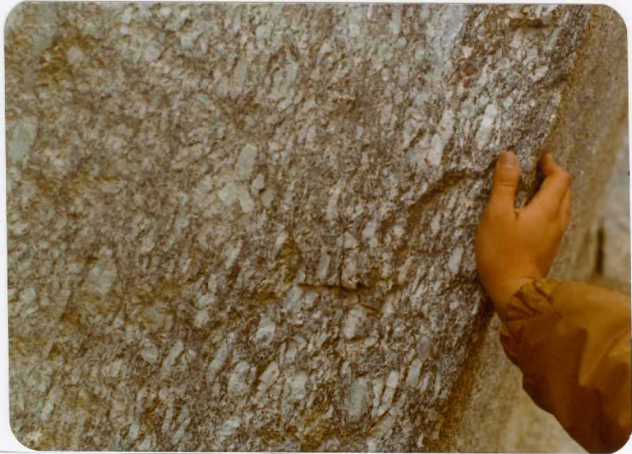
12-16-EP-LA-147 , NC x 16

Granito neísico alterado (Lehm granítico)



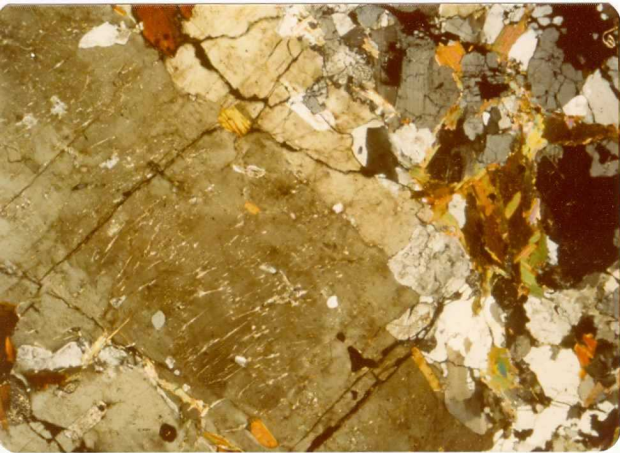
12-16-EP-LA-147, NP x 16

Granito neísico alterado (Lehm granítico)



12-16-EP-LA-186

Detalle del granito de megacristales ($P\gamma^{22}$)
Megacristales orientados.



12-16-EP-LA-2 , NC x 16

Granodiorita.



12-16-EP-LA-200

Detalle del recubrimiento de aluviales arenosos (Q) en el afloramiento existente al E y N. de Pereruela. Fotografía tomada en la excavación reciente de un pozo.



12-16-EP-LA-238

($c_3 \gamma^{22}$), al SO. de la Hoja.



12-16-EP-LA-266

12-16-EP-LA-266

Id. anterior, en un talud situado más al SE.



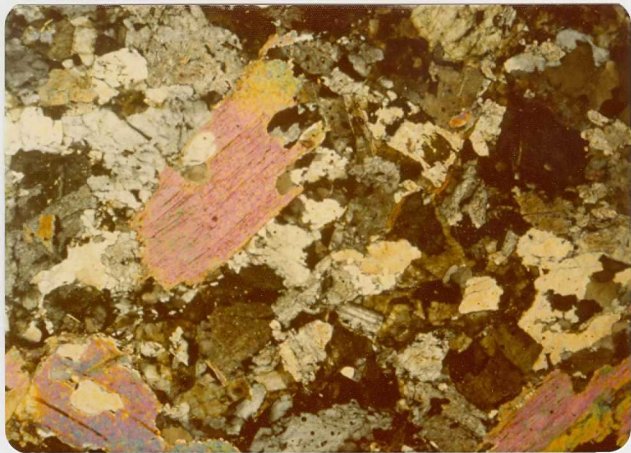
12-16 -EP-LA-268

Id. anterior, más hacia el S.



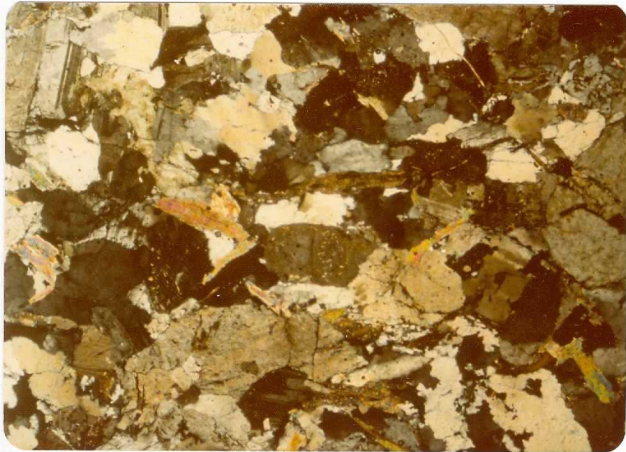
12-16-EP-LA-289

Panorámica del flanco S. de la antiforma
constituida por los gneises de Pereruela-Villaseco
(PC), al S. de Villaseco.



12-16-EP-LA-298 , NC x 16

Leucogranito moscovitico algo neísico



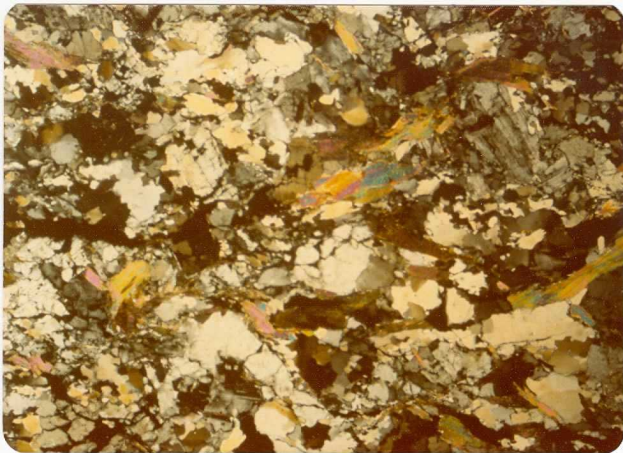
12-16-EP-LA-300, NC x 16

Leucogranito alcalino moscovítico

Esquisto cuarcítico

12-16-EP-LA-311, NC x 16





12-16-EP-LA-313, NC x 16

Gneiss granítico (plagioclásico)



12-16-EP-LA-359

Detalle de la granodiorita con 2 micas (γ_{η}^{21})



12-16-EP-LA-396, NC x 16

Gneis leucogranítico



12-16-EP-LA-41, NC x 16

Granodiorita.



12-16-EP-LA-411, NC x 16

Gneis esquistoso algo microglandular

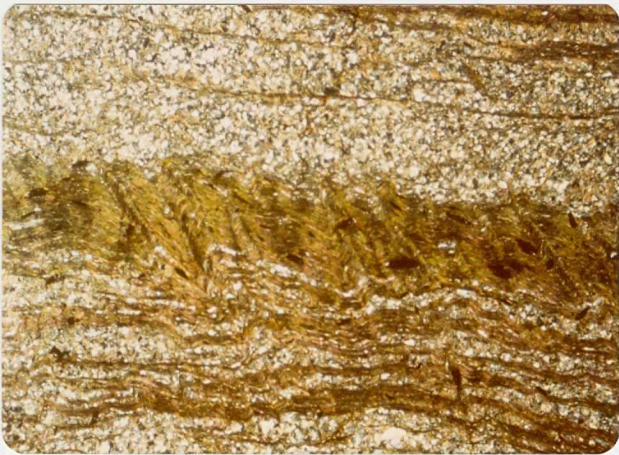


12-16-EP-LA-454, NC x 16

Esquisto granitizado

12 - 16 - EP - LA - 485, NC x 16

Esquisto micáceo.



12-16-EP-LA-486, NC x 16

Esquisto micáceo

12-16-EP-LA-493, NC x 16

Esquisto neísico microglandular.



Panorámica de las terrazas (QT), en las dos márgenes del río Duero, (NE. de Almaraz de Duero, junto a la carretera). Al fondo, la unidad de pizarras y cuarcitas (PC-CA Θ Y), que da relieves suaves.



12-16-EP-LA-502

Panorámica del recubrimiento de aluviales arenosos (Q).



12-16-EP-LA-503

Panorámica de los tramos de () Lehm
 (T_{c1-4}^{A-A}) , y conglomerados y arenas síliceas (T_{c1-2}^{A-A}) in-
frayacente al anterior, y separado de él por contacto
discordante que coincide con el nivel conglomerático a
partir del cual el color pasa de gris-claro a gris-oscu-
ro. Afloramiento existente junto a Pereruela.



12-16-EP-LA-504

Detalle de la discordancia erosiva entre el
Lehm ($T_{C_{4-1}}^{A-A}$) y los conglomerados y arenas silíceas
($T_{C_g}^{A-A}$).

12-16-EP-LA-505

Vista de detalle del Lehm (T_{c1-4}^{A-A}), en
el aforamiento existente junto a Pereruela.





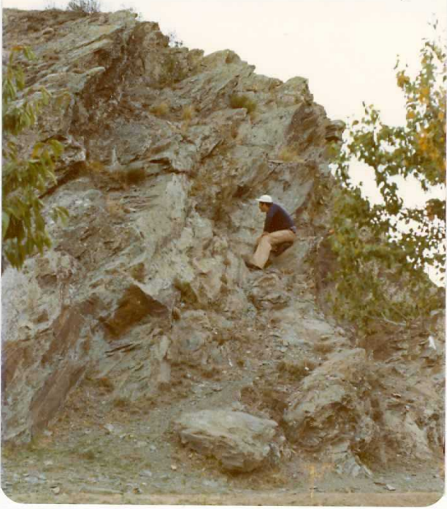
12-16-EP-LA-506

Detalle de los gneises de Pereruela-Villaseco (PCγ), en el flanco S. de la antiforma, al SO. de Villaseco.



12-16-EP-LA-507

Detalle del tramo de pizarras y cuarcitas,
(PC-CA④ Y), cerca de la carretera de Zamora a Alma
raz de Duero.



12-16-EP-LA-508

Panorámica del tramo de esquistos (PC-CAξ)
cerca de la Central de San Román de los Infantes.



12-16-EP-LA-509

Vista de detalle en el tramo de esquistos y
gneises (PC-CAξξ). Se observa un fuerte repliegamiento.



12-16-EP-LA-510

Detalle del tramo de esquistos (PC-CA ξ)

Se observa replegamiento de fase III.

(PC-CAξγ).

Panorámica del tramo de esquistos y gneises.

12-16-EP-LA-511





12-16-EP-LA-512

Id. anterior. Se observa la intercalación de diques de composición granítica de tonos claros.



12-16-EP-LA-513

Id. anterior.

12-16-EP-LA-514

Id. anterior.



12-16-EP-LA-515

Id. anterior.





12-16-EP-LA-516

Aspecto de un dique granítico en el tramo de esquistos y gneises (PC-CAξξ); aparece afectado por la esquistasidad S_1 , que lo corta.



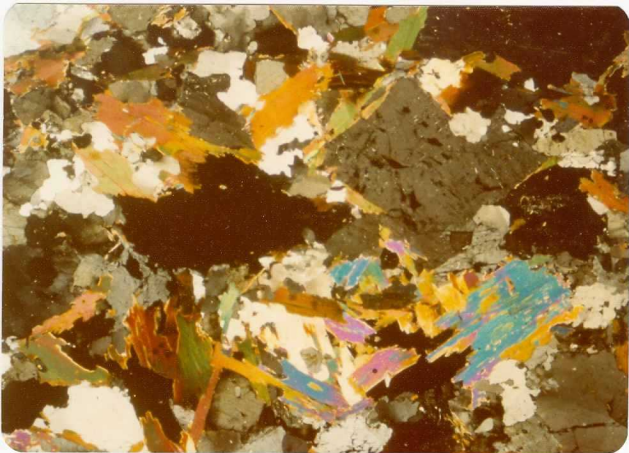
12-16-EP-LA-517

Vista de detalle del granito de grano fino
($C_4\gamma^{22}$), al NE. de Mogátar.



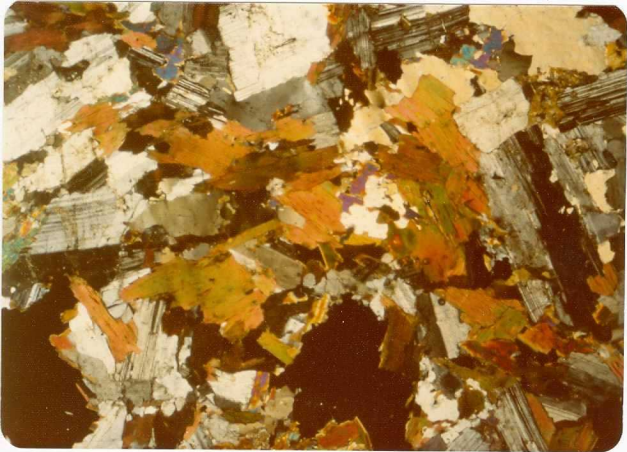
12-16-EP-LA-518

Panorámica del contacto mecánico instrusivo en
tre el granito de megacristales ($P-Y^{22}$) y el tramo de esquistos y gneises (PC-CA $\xi\xi$), en la margen derecho del río Duero,
unos m. al S. de la presa de Villalcampo.



12-16-EP-LA-74, NC x 16

Granodiorita



12-16-EP-LA-75, NC x 16

Cuarzodiorita

12 - 16 - EP - LA - 88 , NC x 16

Esquisto

12-16-EP-LA-89, NC x 16

Esquisto micáceo (micacita)



12-16-EP-LA 368

Panorámica de la granodiorita con dos micas,
 (γ_7^{21}) , cerca del cauce del río Esla, al N. de la Hoja.